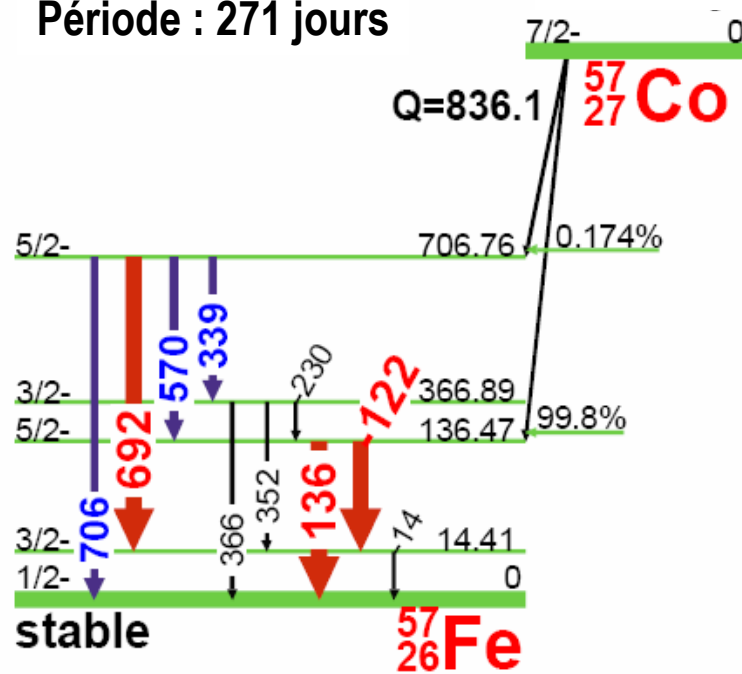


## Schéma de désintégration du Cobalt 57

Période : 271 jours



## Rayonnements gamma : énergie et intensité

Nuclide:  $^{57}\text{Co}$

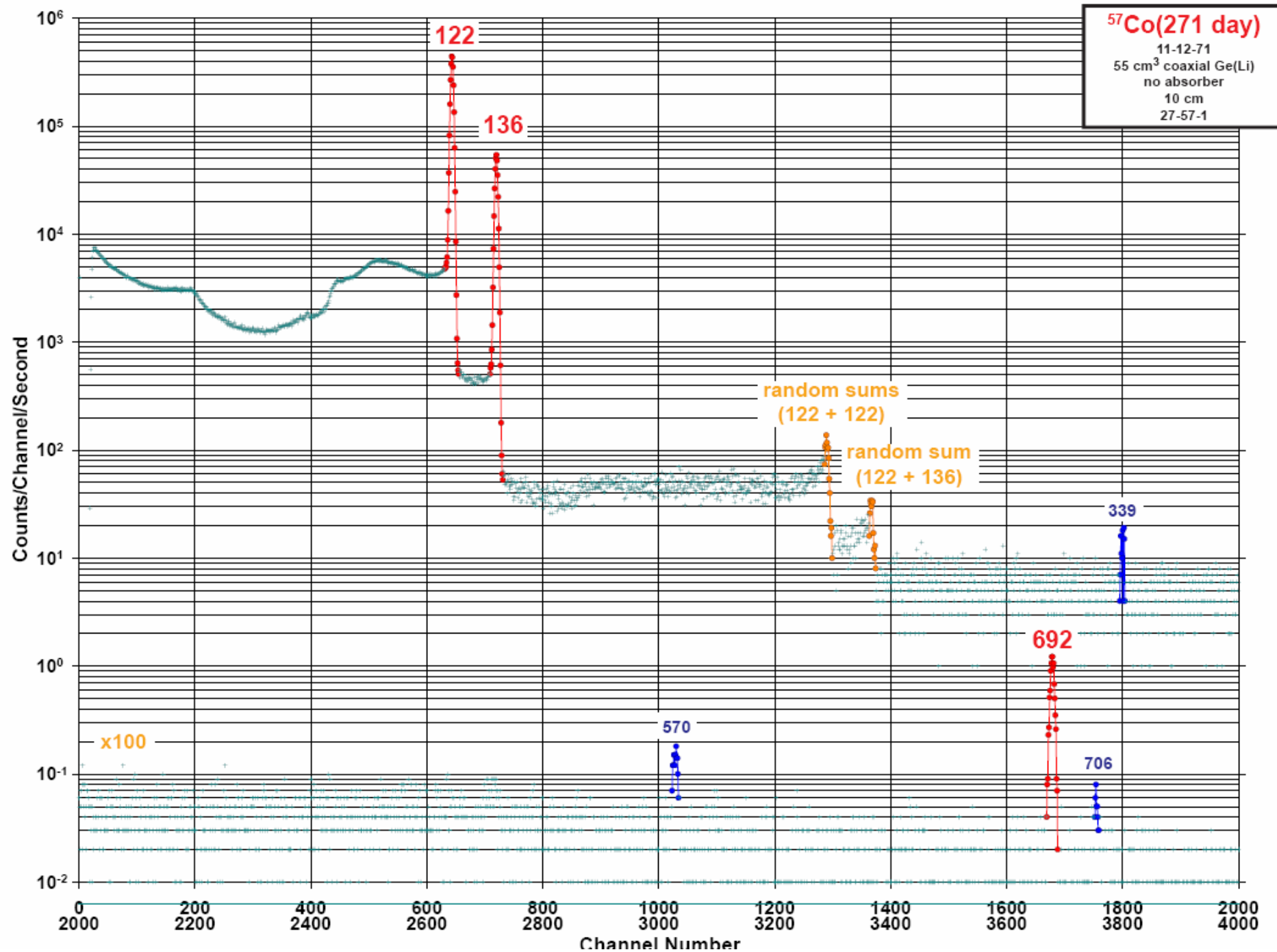
Half Life: 271.79(9) day

Detector: 55 cm<sup>3</sup> coaxial Ge (Li)

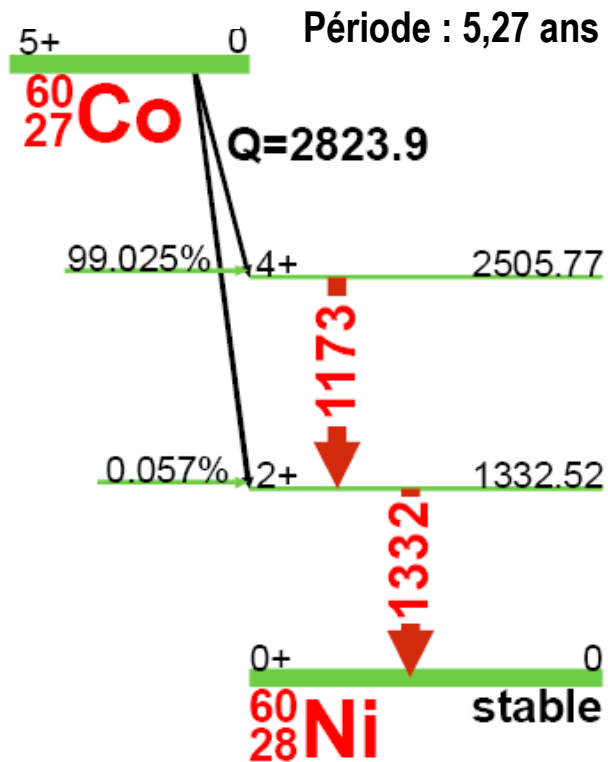
Method of Production:  $^{57}\text{Fe}(p,n)$

$E_\gamma$ (keV)	$\sigma E_\gamma$	$I_\gamma$ (rel)	$I_\gamma$ (%)	$\sigma I_\gamma$	S
14.4129	0.0006		9.16	0.15	4
122.0614	0.0003	100	85.60	0.17	1
136.4743	0.0005	12.9	10.68	0.08	1
230.4	0.4		0.0004	0.0004	4
339.69	0.21		0.0037	0.0003	3
352.33	0.21		0.0030	0.0003	4
366.8	0.3		0.0012	0.0003	4
570.09	0.20	0.01	0.0158	0.0010	3
692.41	0.07	0.19	0.149	0.010	1
706.54	0.22		0.0050	0.0005	3

$E_\gamma$ ,  $\sigma E_\gamma$ ,  $I_\gamma$ ,  $\sigma I_\gamma$  - 1998 ENSDF Data



## Schéma de désintégration du Cobalt 60



## Rayonnements gamma : énergie et intensité

Nuclide:  $^{60}\text{Co}$

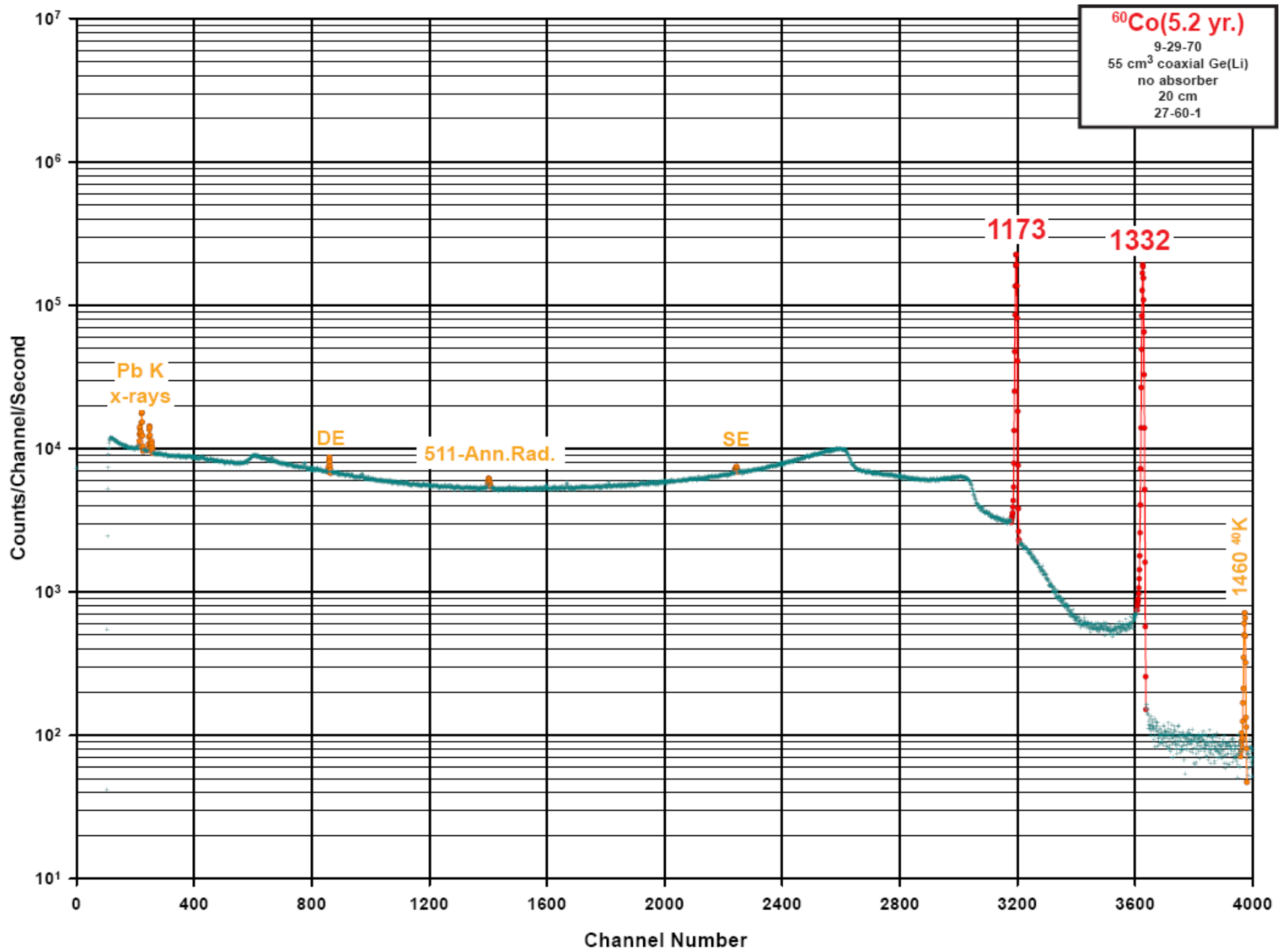
Half Life: 5.2714(5) yr.

Detector: 55 cm<sup>3</sup> coaxial Ge (Li)

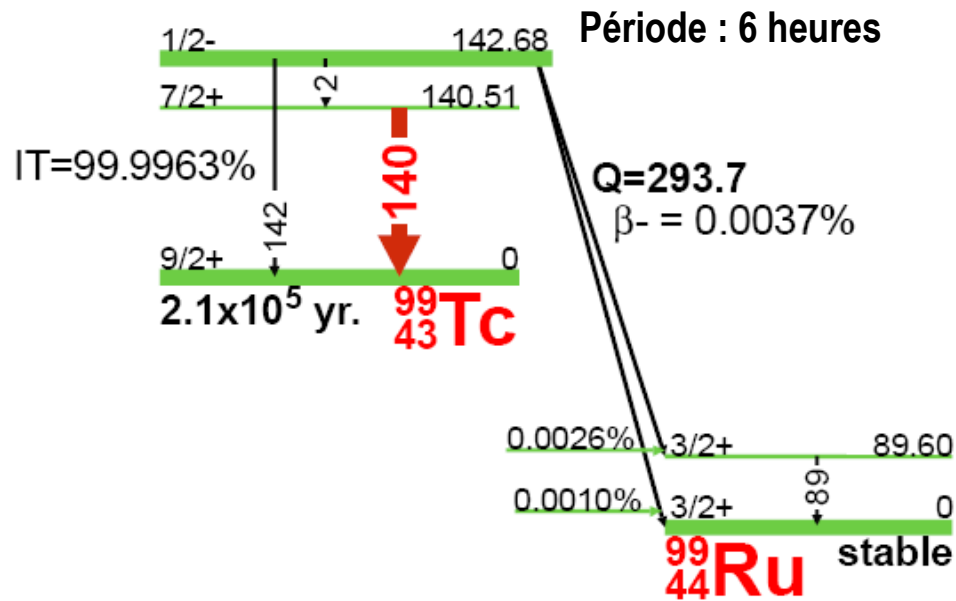
Method of Production:  $^{59}\text{Co}(n,\gamma)$

$E_\gamma$ (keV)	$\sigma E_\gamma$	$I_\gamma$ (rel)	$I_\gamma$ (%)	$\sigma I_\gamma$	S
346.93	0.07		0.0076	0.0005	4
826.28	0.09		0.0076	0.0008	4
1173.237	0.004	100	99.9736	0.0007	1
1332.501	0.005	100	99.9856	0.0004	1
2158.77	0.09		0.0011	0.0002	4
2505.					4

$E_\gamma, \sigma E_\gamma, I_\gamma, \sigma I_\gamma$  - 1998 ENSDF Data



## Schéma de désintégration du Technétium 99m



## Rayonnements gamma : énergie et intensité

Nuclide:  $^{99\text{m}}\text{Tc}$

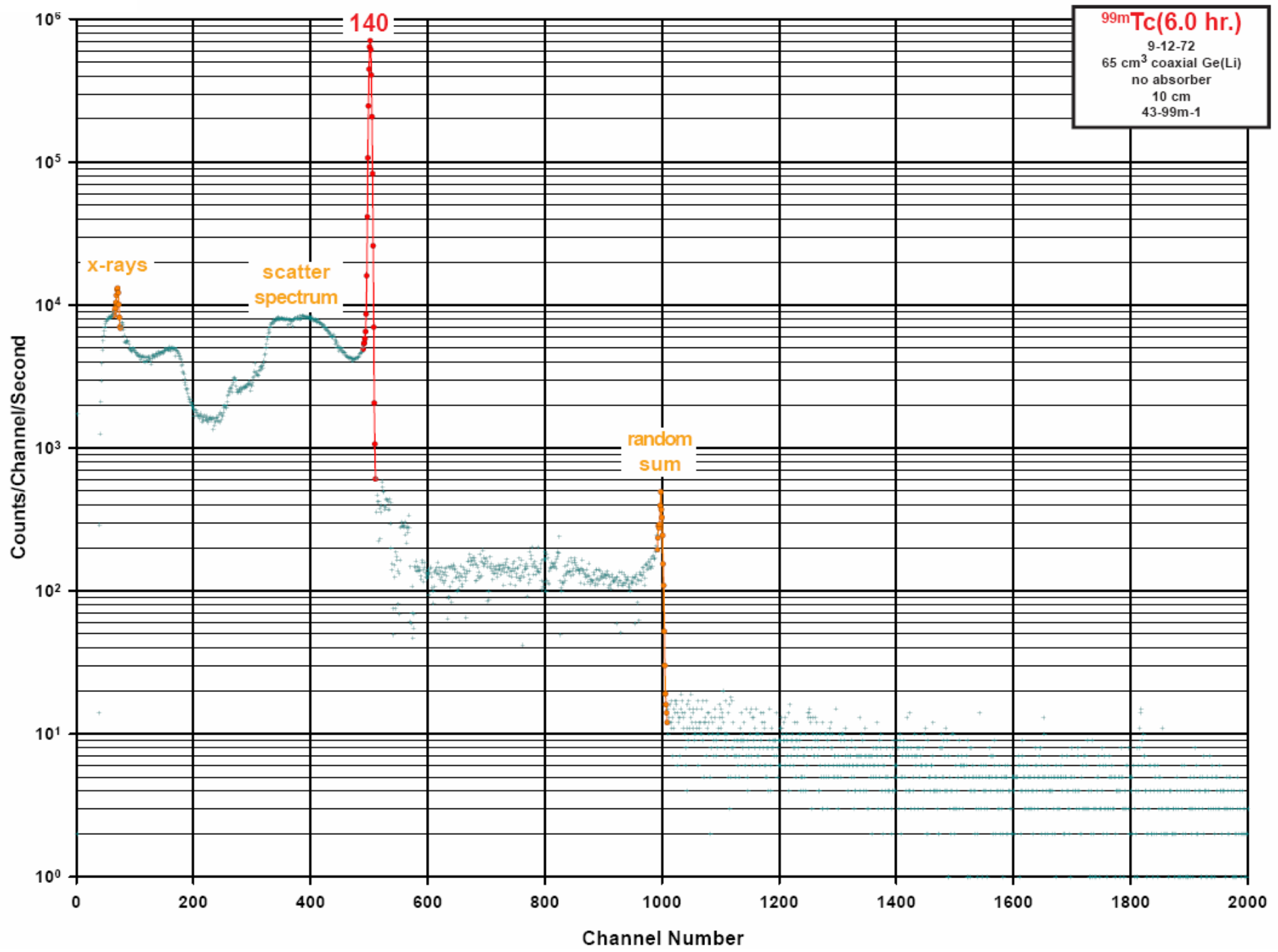
Half Life: 6.01(1) hr.

Detector: 65 cm<sup>3</sup> coaxial Ge (Li)

Method of Production:  $^{98}\text{Mo}(n,\gamma)\beta$

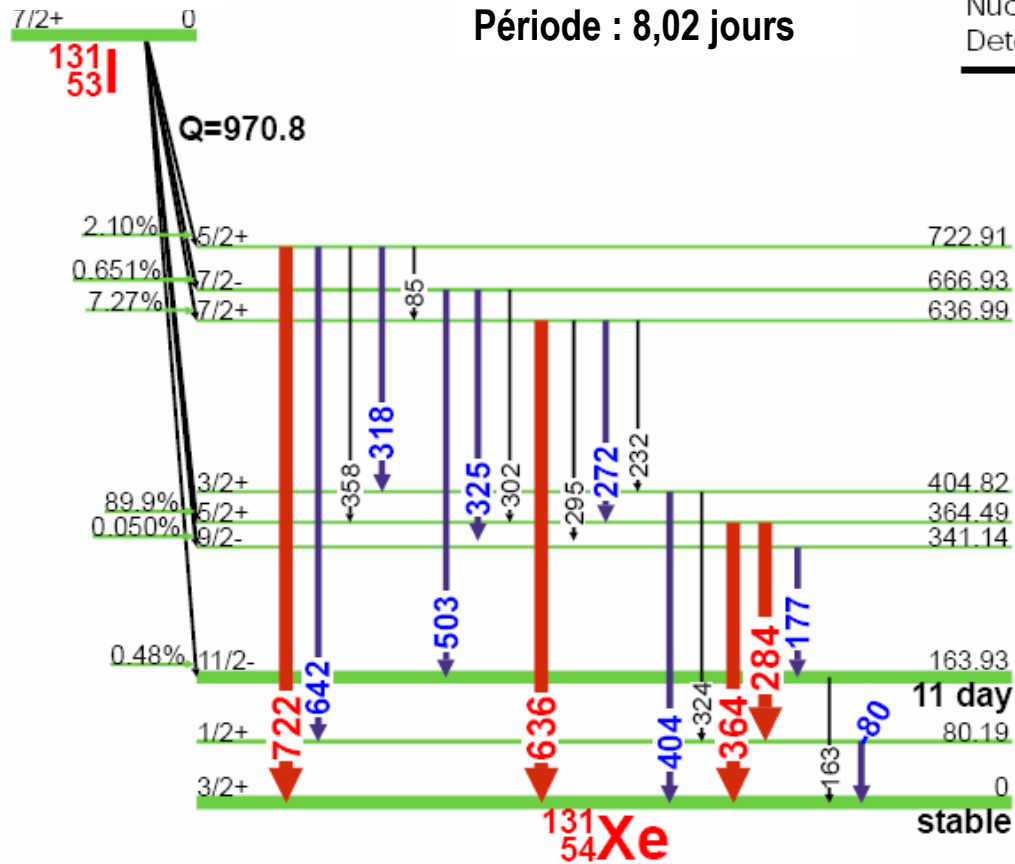
$E_\gamma$ (keV)	$\sigma E_\gamma$	$I_\gamma$ (rel)	$I_\gamma$ (%)	$\sigma I_\gamma$	S
2.1726	0.0004				4
89.6	0.3				4
<b>140.5110</b>	<b>0.0010</b>	<b>100</b>	<b>89.06</b>	<b>0.24</b>	<b>1</b>
142.63	0.03		0.0187	0.0018	4
232.80	0.20		0.23	0.04	4
322.40	0.20		2.62	0.14	4

$E_\gamma, \sigma E_\gamma, I_\gamma, \sigma I_\gamma$  - 1998 ENSDF Data



# Schéma de désintégration de l'iode 131

Période : 8,02 jours



# Rayonnements gamma : énergie et intensité

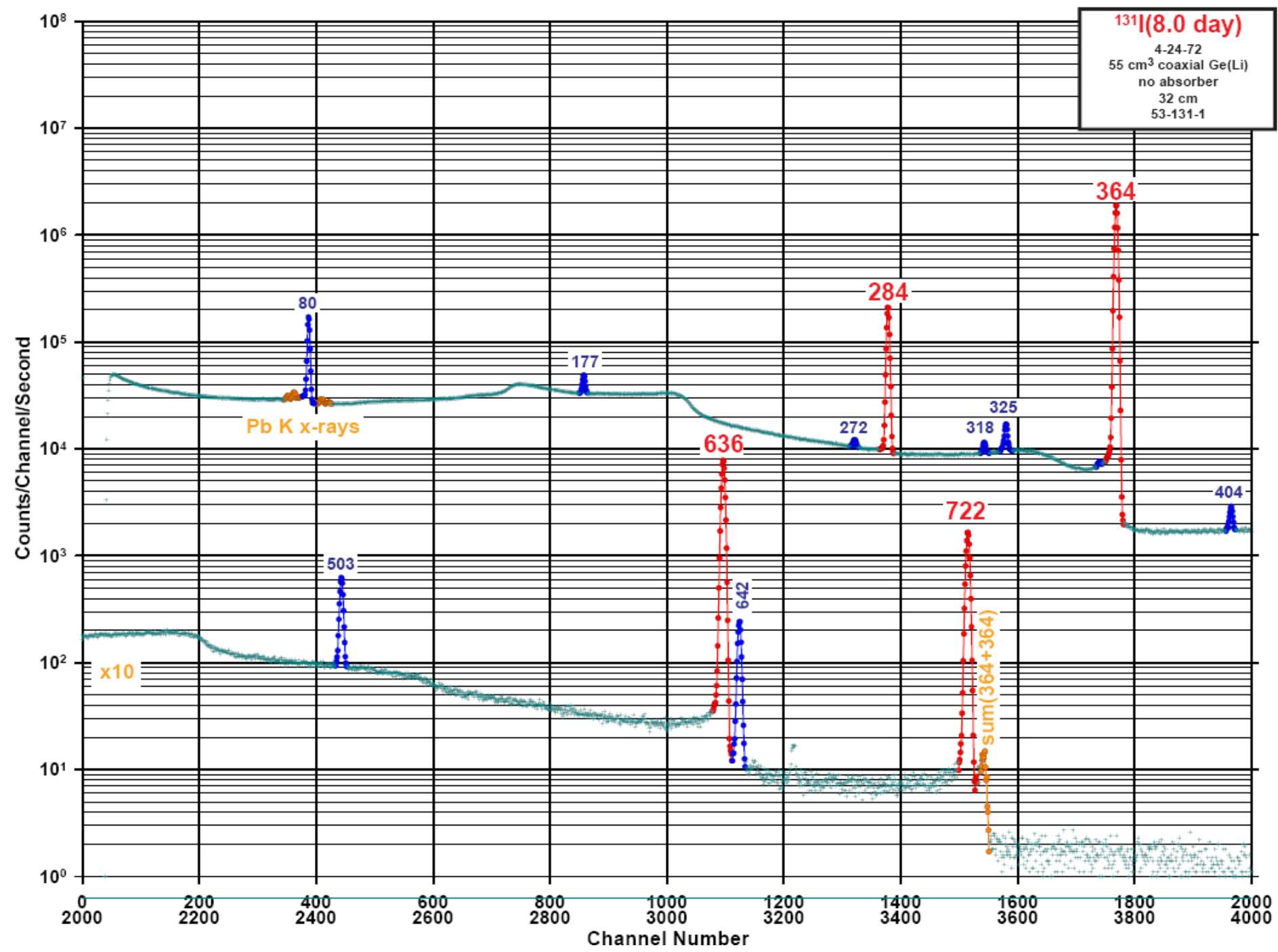
Nuclide: <sup>131</sup>I

Half Life: 8.02070(11) day

Detector: 55 cm<sup>3</sup> coaxial Ge (Li) Method of Production: U(n,f) chem

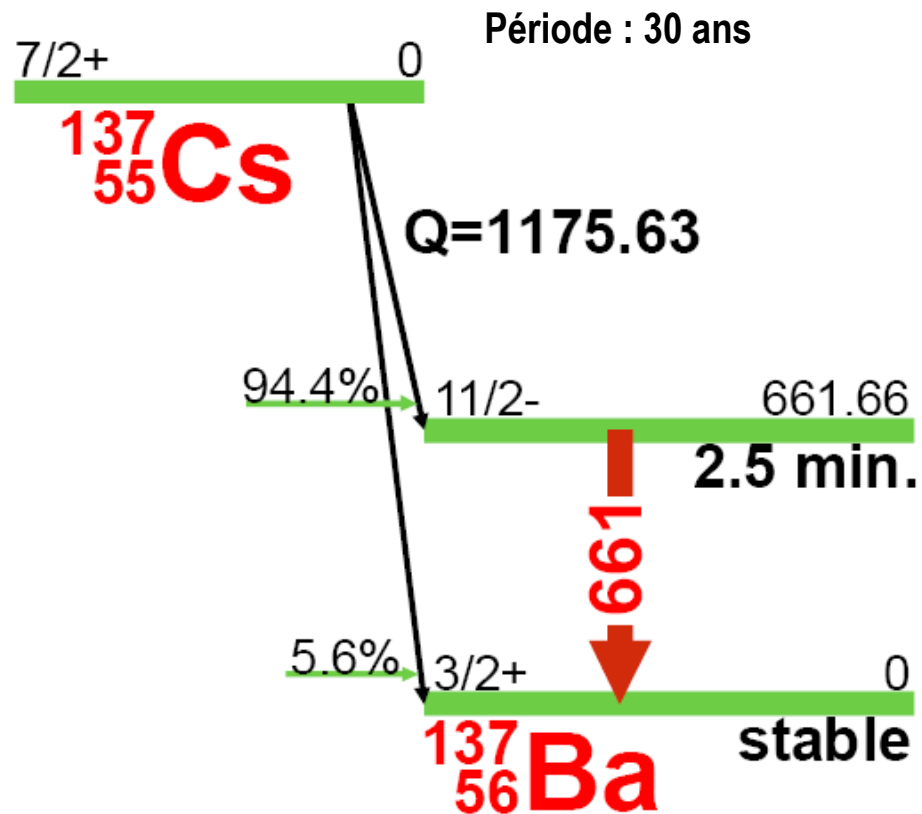
E <sub>γ</sub> (keV)	σ E <sub>γ</sub>	I <sub>γ</sub> (rel)	I <sub>γ</sub> (%)	σ I <sub>γ</sub>	S
80.185	0.002	2.8	2.62	0.04	2
85.90	0.20		0.0001		4
163.930	0.008				4
177.214	0.002	0.36	0.270	0.004	4
232.18	0.15		0.0032	0.0004	4
272.498	0.017	1.1	0.0578	0.0011	4
284.305	0.005	7.6	6.14	0.06	1
295.80	0.20		0.0018	0.0008	4
302.40	0.20		0.0047	0.0006	4
318.088	0.016	0.10	0.0776	0.0017	4
324.651	0.025		0.0212	0.0025	4
325.789	0.004	0.34	0.274	0.021	4
358.40	0.20		0.016	0.006	4
364.489	0.005	100.	81.7	0.8	1
404.814	0.004	0.07	0.0547	0.0017	4
449.60	0.20		0.0074	0.0025	4
503.004	0.004	0.46	0.360	0.004	2
636.989	0.004	9.1	7.17	0.10	1
642.719	0.005	0.28	0.217	0.004	2
722.911	0.005	2.3	1.7729	0.0268	1

E<sub>γ</sub>, σE<sub>γ</sub>, I<sub>γ</sub>, σI<sub>γ</sub> - 1998 ENSDF Data





## Schéma de désintégration du césium 137



## Rayonnements gamma : énergie et intensité

Nuclide:  $^{137}\text{Cs}$

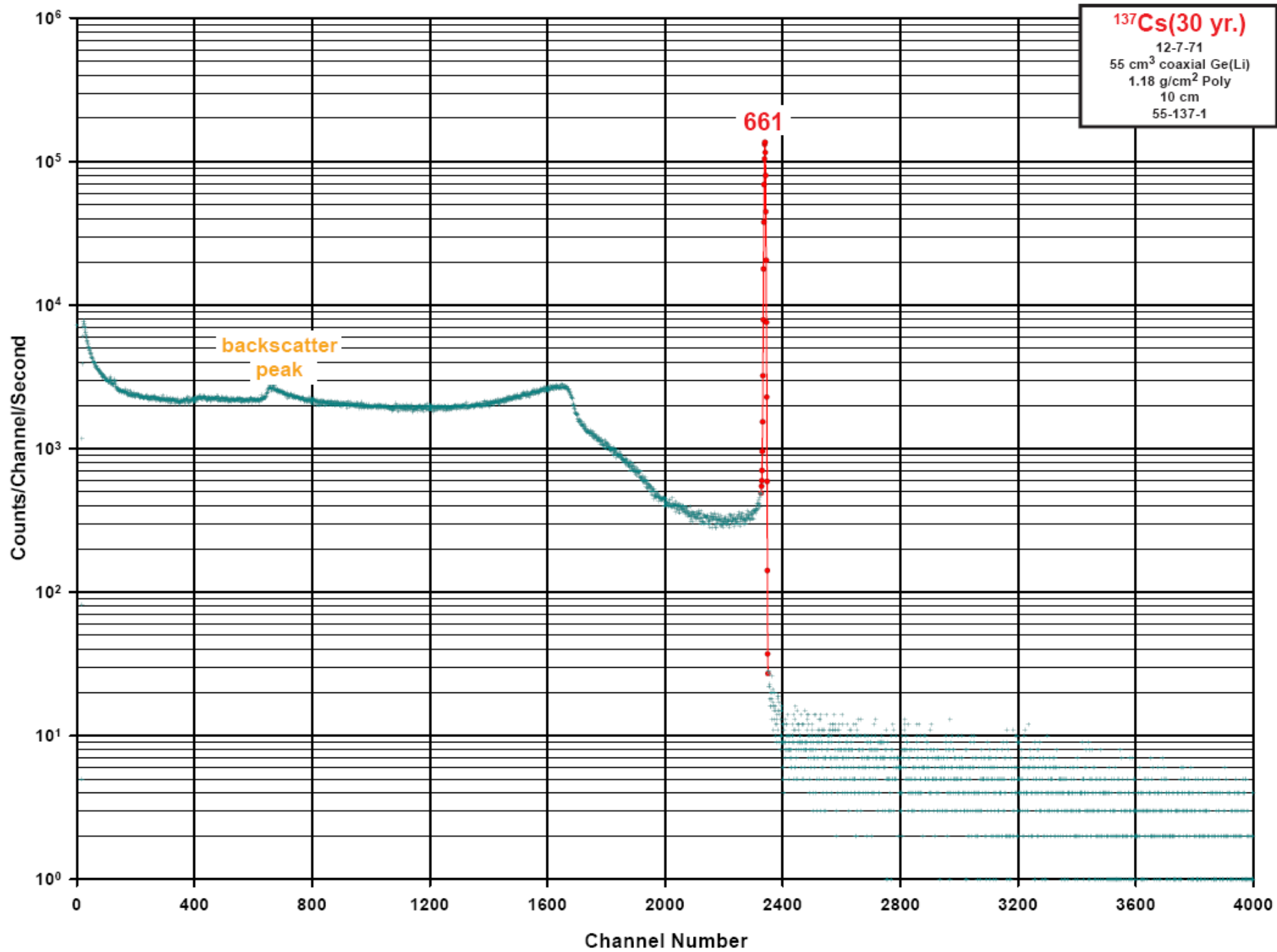
Half Life: 30.07(3) yr.

Detector: 55 cm<sup>3</sup> coaxial Ge (Li)

Method of Production: U(n,f) chem.

$E_\gamma$ (keV)	$\sigma E_\gamma$	$I_\gamma$ (rel)	$I_\gamma$ (%)	$\sigma I_\gamma$	S
283.5	0.1		0.0006	0.0001	4
661.657	0.003	100	85.1	0.2	1

$E_\gamma, \sigma E_\gamma, I_\gamma, \sigma I_\gamma$  - 1998 ENSDF Data



# Schéma de désintégration de l'euporium 152

Période : 13 ans

gamma-rays emitted from low energy levels

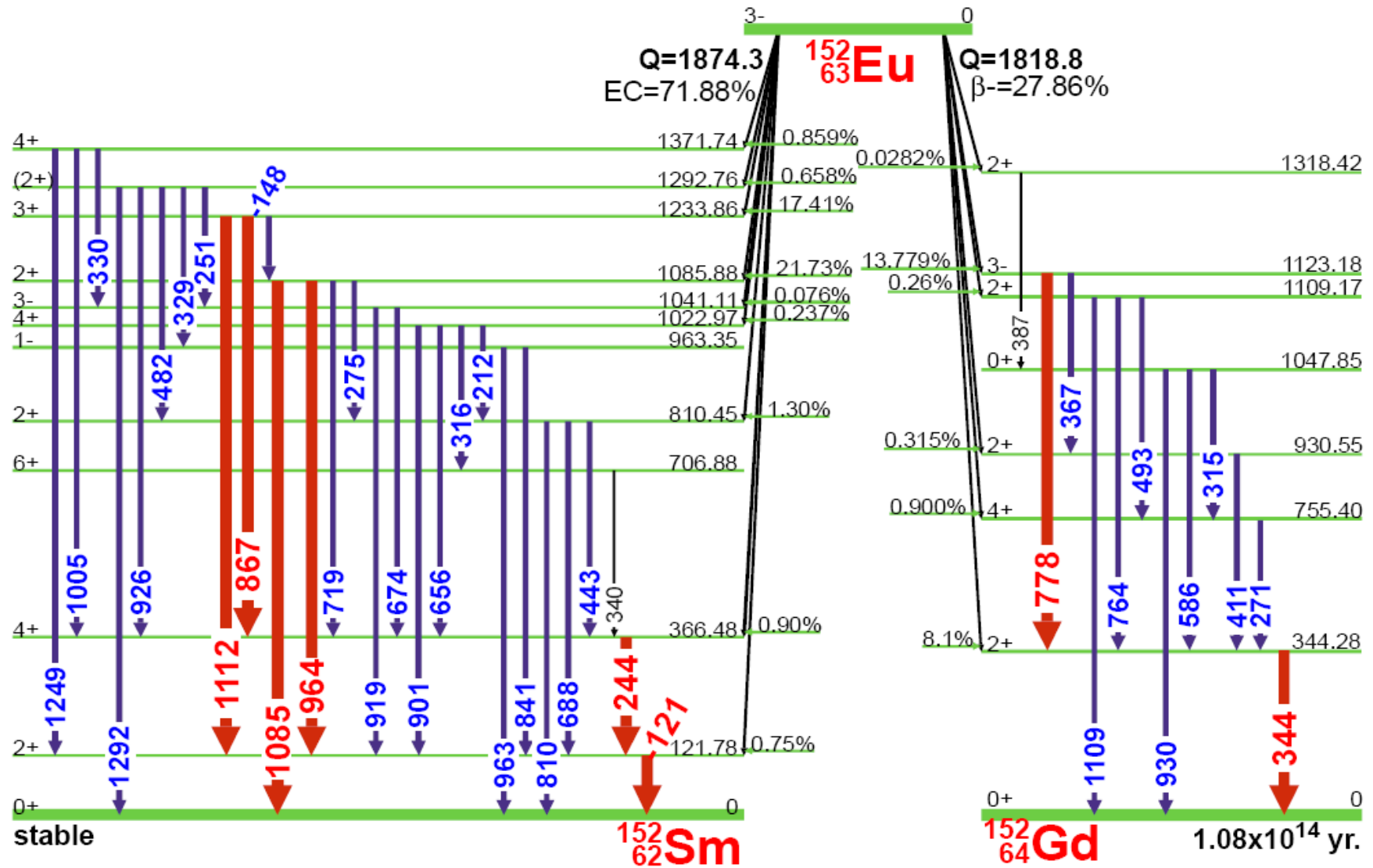


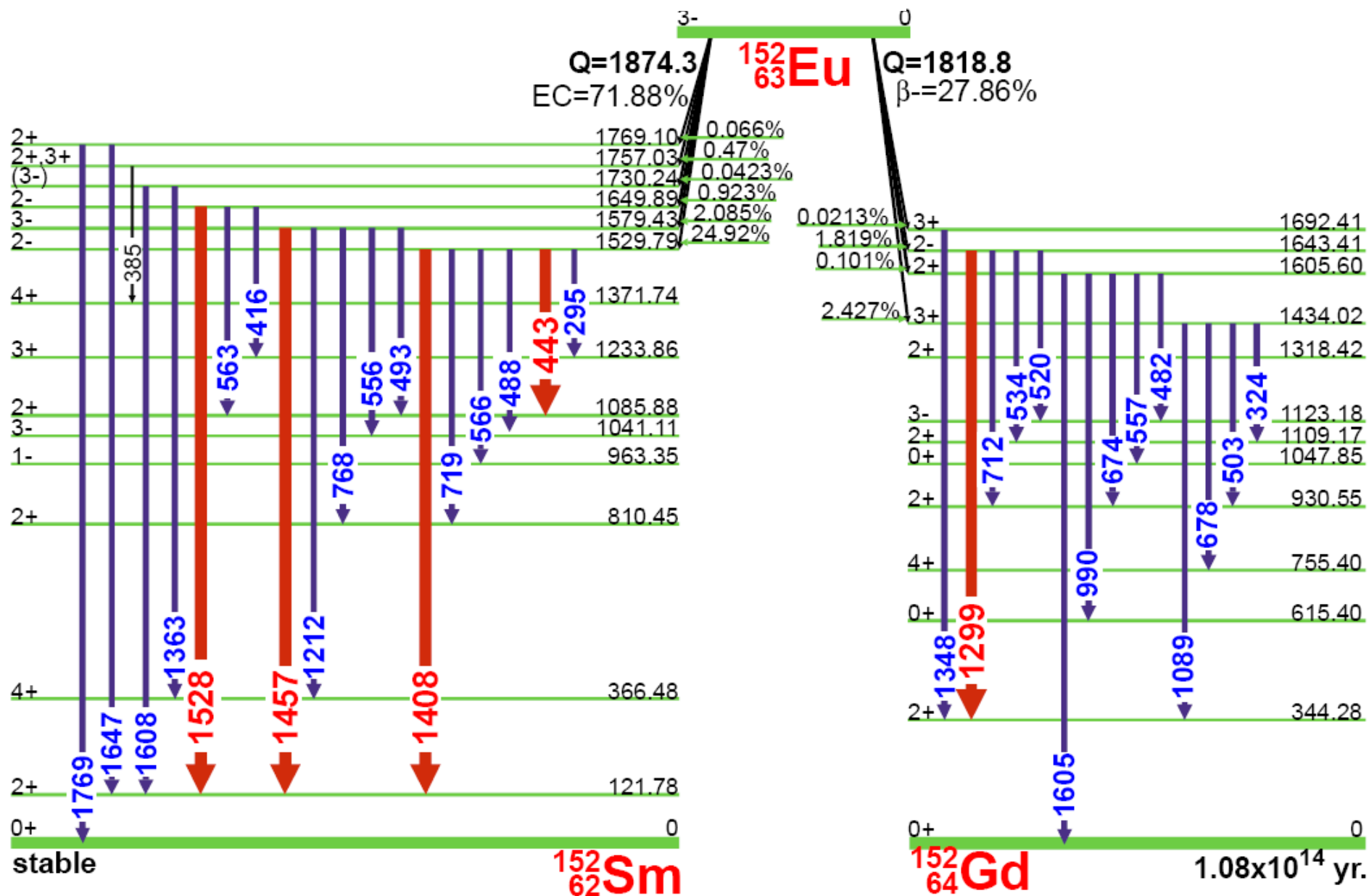
Table of Contents



# Schéma de désintégration de l'euporium 152

gamma-rays emitted from high energy levels

Période : 13 ans



## Rayonnements gamma : énergie et intensité (page 1/3)

Nuclide: <sup>152</sup>Eu

$E_\gamma$ ,  $\sigma E_\gamma$ ,  $I_\gamma$ ,  $\sigma I_\gamma$  - 1998 ENSDF Data

Half Life: 13.537(6) yr.

Detector: 65 cm<sup>3</sup> coaxial Ge (Li)

Method of Production: <sup>151</sup>Eu(n, $\gamma$ )

	$E_\gamma$ (keV)	$\sigma E_\gamma$	$I_\gamma$ (rel)	$I_\gamma$ (%)	$\sigma I_\gamma$	S
	121.782		100.	39.76	0.12	1
	125.69	0.13		0.022	0.007	4
	148.010	0.017	0.06	0.052	0.006	4
	173.17	0.15		0.029	0.010	4
	175.18			0.0056	0.0015	4
	192.60	0.04		0.0244	0.0008	4
	195.05	0.24		0.022	0.005	4
	202.74	0.13		0.0071	0.0015	4
	207.6	0.3		0.0082	0.0009	4
	209.1					4
	209.41	0.13		0.0196	0.0017	4
	212.568	0.015	0.25	0.0276	0.0007	4
	237.31	0.05		0.0130	0.0019	4
	239.42	0.17		0.0063	0.0026	4
	244.697	0.001	27.9	10.55	0.03	1
	251.630	0.007	0.29	0.100	0.004	4
	269.86	0.06		0.0115	0.0011	4
	271.131	0.008	0.31	0.262	0.008	4
	275.449	0.015	0.12	0.046	0.003	4
	285.98	0.03		0.0138	0.0011	4
	295.939	0.002	1.67	0.622	0.007	3
D	315.174	0.017	0.19	0.182	0.005	4
	316.20	0.20		0.0030	0.0019	4
	320.03	0.15		0.0022	0.0007	4
	324.83	0.03	0.33	0.259	0.012	4
D	329.425	0.021	0.40	0.179	0.011	4
	330.540	0.100		0.0082	0.0022	4
	340.40	0.14		0.051	0.004	4
	344.279	0.001	97.9	95.2	1.5	1
	351.66	0.04		0.033	0.005	4
	357.26	0.05		0.0056	0.0011	4
	358.13					4
	367.789	0.002	3.30	3.089	0.018	3

	$E_\gamma$ (keV)	$\sigma E_\gamma$	$I_\gamma$ (rel)	$I_\gamma$ (%)	$\sigma I_\gamma$	S
	379.37	0.06		0.0012	0.0003	4
	385.69	0.20		0.0071	0.0011	4
D	387.90	0.08		0.0041	0.0003	4
	387.90	0.08		0.0105	0.0008	4
	389.07	0.11		0.0048	0.0019	4
	391.32	0.14		0.0018	0.0003	4
	395.75	0.19		0.011	0.004	4
	406.74	0.15		0.0012	0.0003	4
	411.116	0.001	8.42	8.019	0.018	2
	416.048	0.008	0.44	0.1531	0.0026	4
	423.45	0.04		0.0045	0.0009	4
	440.86	0.10		0.0186	0.0022	4
	440.86	0.10		0.048	0.006	4
	441.0					4
D	443.965	0.003	11.40	0.454	0.026	1
	443.965	0.003		3.925	0.027	1
	482.31	0.03		0.0050	0.0022	4
D	482.31	0.03	0.11	0.041	0.003	4
	482.43					4
	488.679	0.002	1.54	0.5828	0.0046	3
D	493.508	0.020	0.25	0.035	0.004	4
	493.508	0.020		0.041	0.003	4
	496.39	0.03		0.0071	0.0011	4
	496.39	0.03		0.0152	0.0015	4
	503.474	0.005	0.59	0.533	0.029	4
	511.006			0.028		4
	520.227	0.005	0.22	0.187	0.014	4
	523.13	0.05		0.0209	0.0022	4
	526.881	0.020		0.0471	0.0023	4
	534.245	0.007	0.25	0.153	0.004	4
	536.23					4
	538.29	0.06		0.0054	0.0008	4

## Rayonnements gamma : énergie et intensité (page 2/3)

Nuclide: <sup>152</sup>Eu

$E_\gamma$ ,  $\sigma E_\gamma$ ,  $I_\gamma$ ,  $\sigma I_\gamma$  - 1998 ENSDF Data

Half Life: 13.537(6) yr.

Detector: 65 cm<sup>3</sup> coaxial Ge (Li)

Method of Production: <sup>151</sup>Eu(n, $\gamma$ )

	$E_\gamma$ (keV)	$\sigma E_\gamma$	$I_\gamma$ (rel)	$I_\gamma$ (%)	$\sigma I_\gamma$	S	
D	556.56	0.03	0.08	0.0257	0.0019	4	
	557.91	0.17		0.016	0.007		
	561.2	0.5		0.0015	0.0003	4	
	562.930	0.020		0.0037	0.0019	4	
	563.990	0.007	1.91	0.681	0.009	3	
	566.439	0.005	0.55	0.1795	0.0026	4	
	571.83	0.08		0.0067	0.0011	4	
	586.265	0.002	1.99	1.649	0.019	3	
	595.61	0.12		0.045	0.015	4	
	615.40	0.10				4	
	616.05	0.03		0.0127	0.0011	4	
	644.37	0.05		0.0086	0.0011	4	
	656.487	0.005	0.76	0.2015	0.0026	4	
	664.78	0.05		0.023	0.003	4	
671.155	0.017		0.0272	0.0022	4		
D	674.675	0.003	0.61	0.0609	0.006	4	
	674.675	0.003		0.240	0.006		
	678.623	0.005	1.94	1.692	0.015	3	
	683.32	0.11		0.0045	0.0011	4	
	686.61	0.05		0.0268	0.0022	4	
	688.670	0.005	3.24	1.192	0.012	3	
	696.87	0.19		0.022	0.011	4	
	702.96					4	
	703.25	0.06		0.0057	0.0019	4	
	703.25	0.06		0.0124	0.0029		
	712.843	0.006	0.43	0.333	0.029	4	
	D	719.349	0.004	1.35	0.082	0.011	4
		719.349	0.004		0.387	0.011	
		727.99	0.14		0.0156	0.0011	4
	735.40	0.10		0.0082	0.0015	4	
	756.12	0.09				4	
	764.900	0.009	0.98	0.77	0.09	4	
	768.944	0.009	0.45	0.130	0.006	4	

	$E_\gamma$ (keV)	$\sigma E_\gamma$	$I_\gamma$ (rel)	$I_\gamma$ (%)	$\sigma I_\gamma$	S
	778.904	0.002	48.0	46.45	0.09	1
	794.81	0.03	0.18	0.094	0.008	4
	805.70	0.07		0.0171	0.0015	4
	810.451	0.005	1.08	0.445	0.004	3
	839.36	0.04		0.0223	0.0015	4
	841.570	0.005	0.80	0.231	0.003	4
	867.373	0.003	15.5	5.906	0.029	1
	896.58	0.09		0.093	0.003	4
	901.181	0.011	0.43	0.120	0.006	4
	906.01	0.06		0.0227	0.0022	4
	919.330	0.003	1.85	0.594	0.008	3
	926.317	0.015	1.44	0.386	0.007	3
	930.580	0.015	0.49	0.262	0.007	4
	937.05	0.15		0.012	0.005	4
	958.63	0.05		0.030	0.003	4
D	963.390	0.012	53.5	0.188	0.004	1
	964.079	0.018		20.32	0.05	
	968.0			0.005	0.003	4
	974.09	0.04		0.0505	0.0029	4
	990.19	0.03	(0.30)	0.112	0.005	4
	1001.1	0.3		0.0063	0.0011	4
	1005.272	0.017	3.10	0.898	0.007	3
D	1084.0	1.0	38.85	0.343	0.011	1
	1085.869	0.024		14.20	0.04	
	1089.737	0.005	6.82	6.200	0.024	2
	1109.174	0.012		0.666	0.029	4
	1112.069	0.003	49.75	18.98	0.05	1
	1139.0	1.0		0.0018	0.0001	4
	1170.93	0.11		0.051	0.004	4
	1206.11	0.15		0.050	0.004	4
	1212.948	0.011	5.75	1.978	0.010	2
	1249.938	0.013	1.05	0.262	0.005	3
	1261.343	0.023		0.120	0.005	4

## Rayonnements gamma : énergie et intensité (page 3/3)

Nuclide: <sup>152</sup>Eu

$E_\gamma$ ,  $\sigma E_\gamma$ ,  $I_\gamma$ ,  $\sigma I_\gamma$  - 1998 ENSDF Data

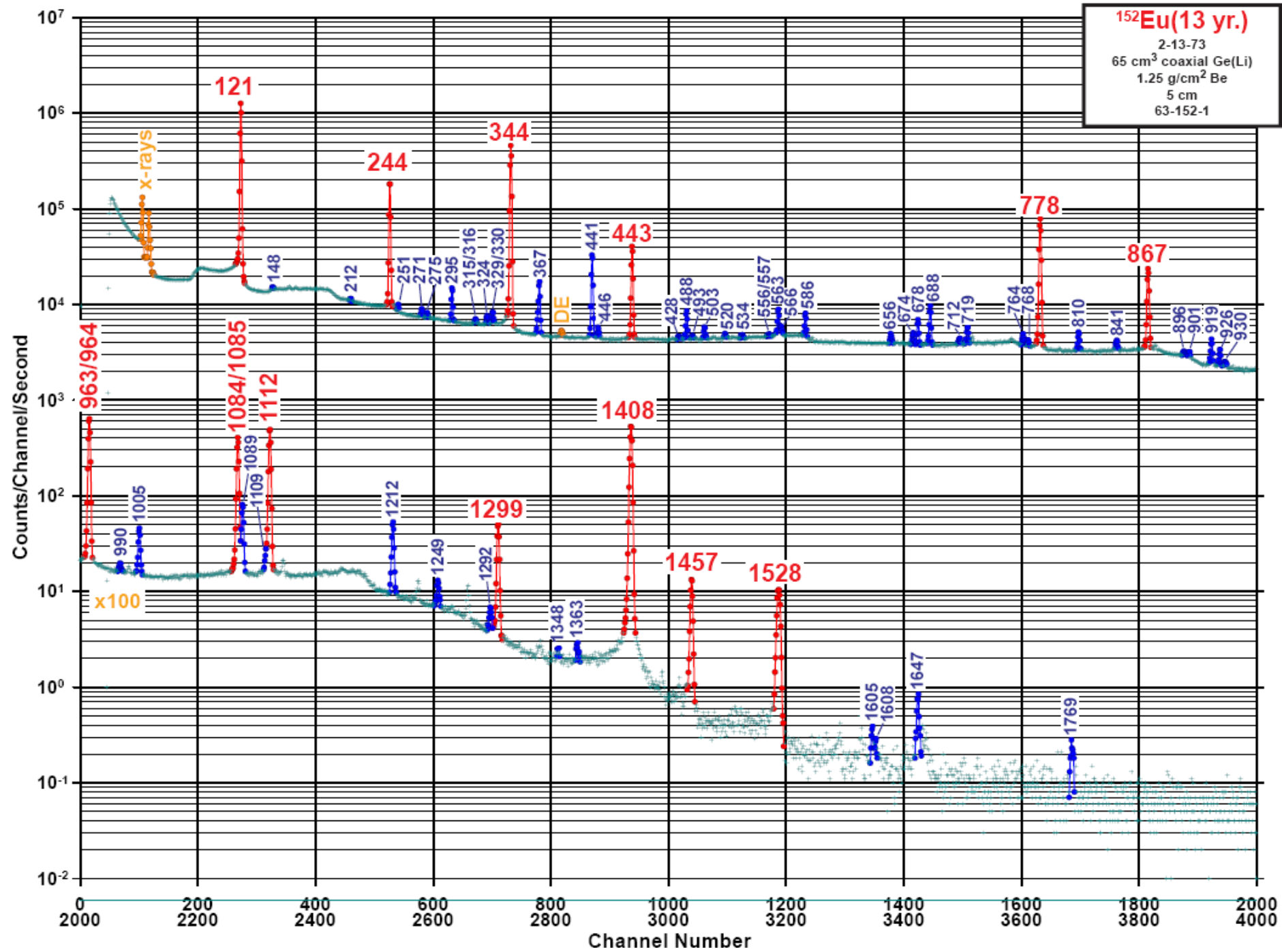
Half Life: 13.537(6) yr.

Detector: 65 cm<sup>3</sup> coaxial Ge (Li)

Method of Production: <sup>151</sup>Eu(n, $\gamma$ )

$E_\gamma$ (keV)	$\sigma E_\gamma$	$I_\gamma$ (rel)	$I_\gamma$ (%)	$\sigma I_\gamma$	S
1292.778	0.019	0.48	0.146	0.008	3
1299.140	0.009	6.15	5.826	0.029	1
1314.70	0.20		0.018	0.004	4
1315.31	0.23		0.0101	0.0022	4
1348.10	0.07	0.10	0.064	0.004	4
1363.77	0.05	0.10	0.0358	0.0015	4
1390.36	0.16		0.0067	0.0011	4
1408.006	0.003	78.10	29.22	0.07	1
1457.643	0.011	1.78	0.698	0.006	1

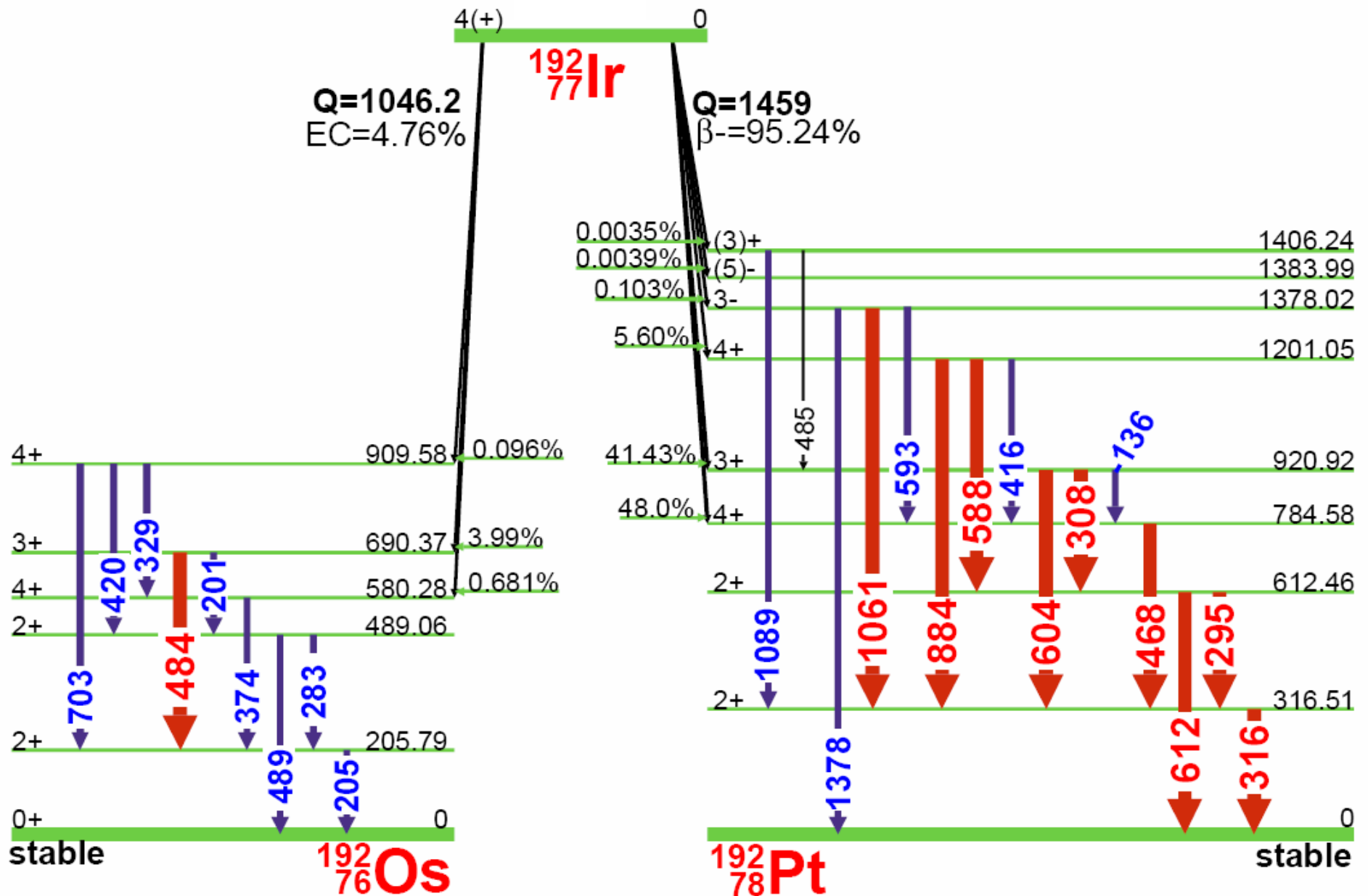
$E_\gamma$ (keV)	$\sigma E_\gamma$	$I_\gamma$ (rel)	$I_\gamma$ (%)	$\sigma I_\gamma$	S
1485.9	0.3		0.008	0.003	4
1528.103	0.018	1.00	0.391	0.006	1
1605.61	0.07	0.03	0.0293	0.0017	4
1608.36	0.08	0.02	0.0074	0.0005	4
1635.2	0.5		0.0002	0.0001	4
1647.41	0.14	0.03	0.0088	0.0008	4
1674.30	0.06		0.0086	0.0011	4
1698.1	0.4		0.0082	0.0026	4
1769.09	0.05	0.04	0.0133	0.0005	4





# Schéma de désintégration de l'iridium 192

Période : 73 jours



## Rayonnements gamma : énergie et intensité

Nuclide:  $^{192}\text{Ir}$

$E_\gamma$ ,  $\sigma E_\gamma$ ,  $I_\gamma$ ,  $\sigma I_\gamma$  - 1998 ENSDF Data

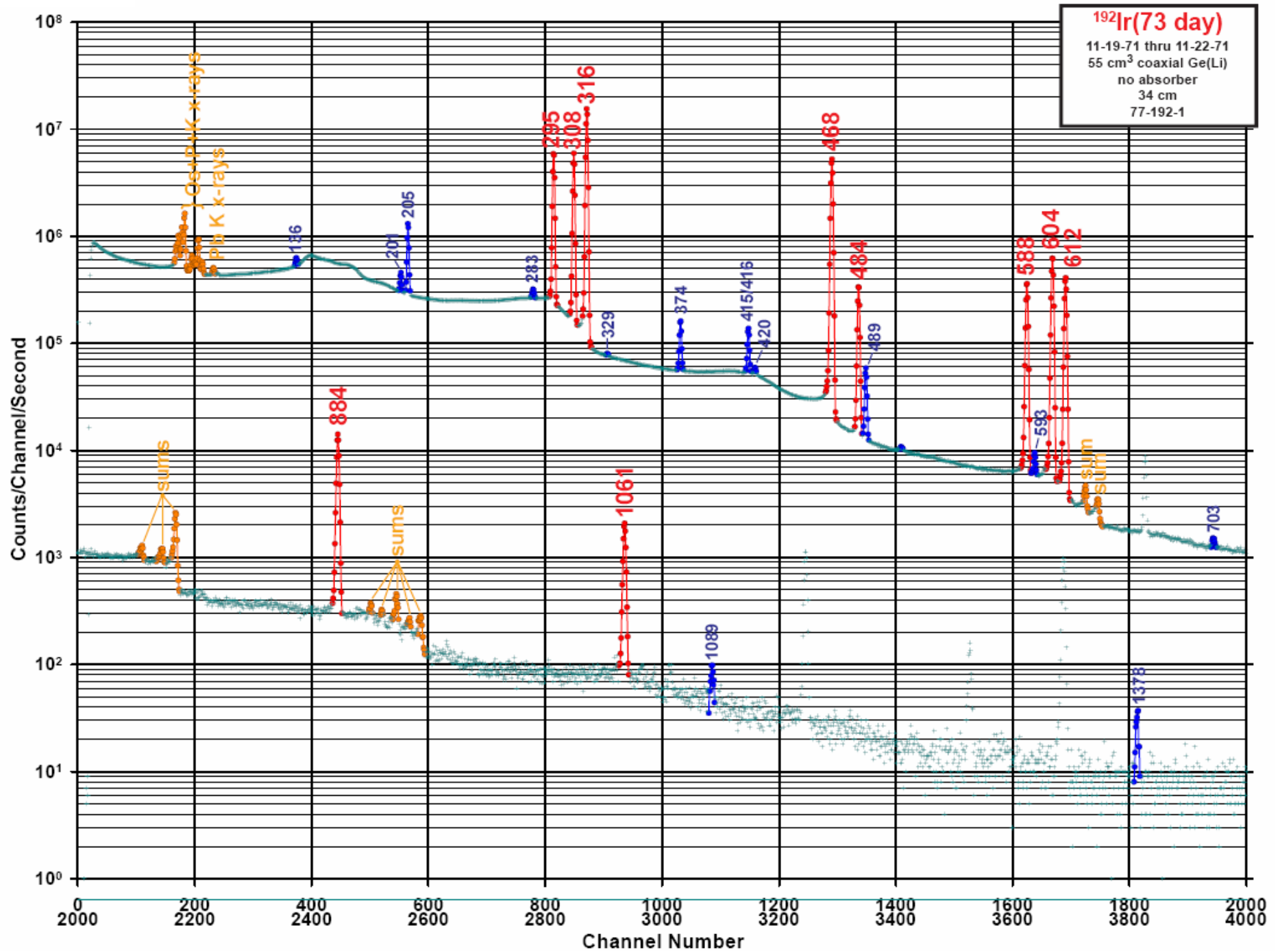
Half Life: 73.831(8) day

Detector: 55 cm<sup>3</sup> coaxial Ge (Li)

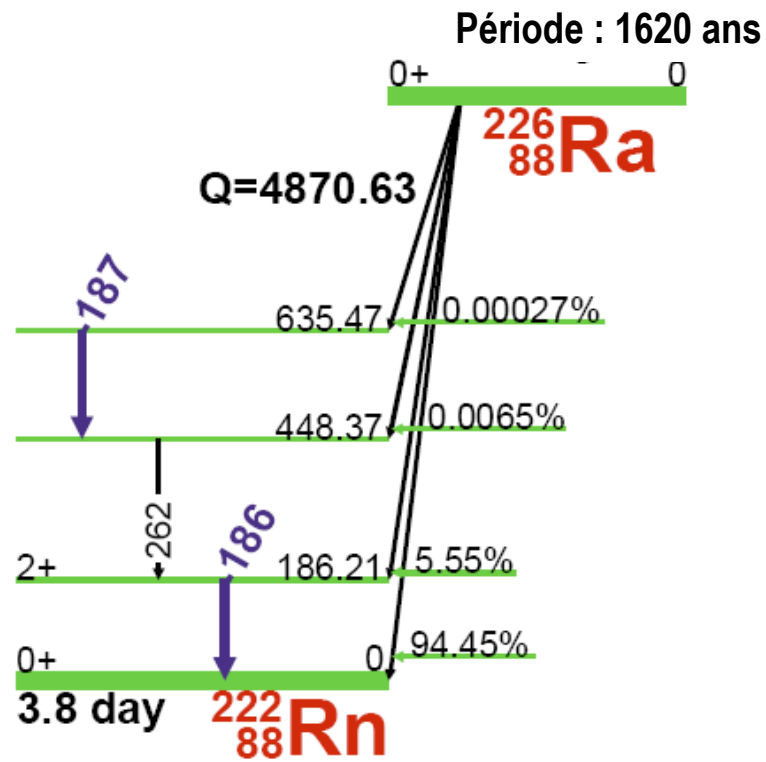
Method of Production:  $^{191}\text{Ir}(n,\gamma)$

$E_\gamma$ (keV)	$\sigma E_\gamma$	$I_\gamma$ (rel)	$I_\gamma$ (%)	$\sigma I_\gamma$	S
110.093	0.019		0.0126	0.0009	4
136.343		0.218	0.183	0.009	4
176.98	0.04		0.0043	0.0011	4
201.311	0.001	0.551	0.472	0.006	4
205.796		3.86	3.30	0.02	2
214.7	0.5		0.0027		4
280.04	0.05		0.023	0.010	4
283.267	0.001	0.320	0.262	0.004	4
295.958		34.64	28.67	0.10	1
308.457		35.77	30.00	0.09	1
314.8	0.3		0.075		4
316.508		100.	82.81	0.21	1
329.312	0.009	0.019	0.0186	0.0011	4
374.485	0.001	0.875	0.721	0.005	3
415.4	0.5	0.802	0.0091		3
416.471	0.001		0.664	0.007	
420.532	0.010	0.070	0.074	0.002	4

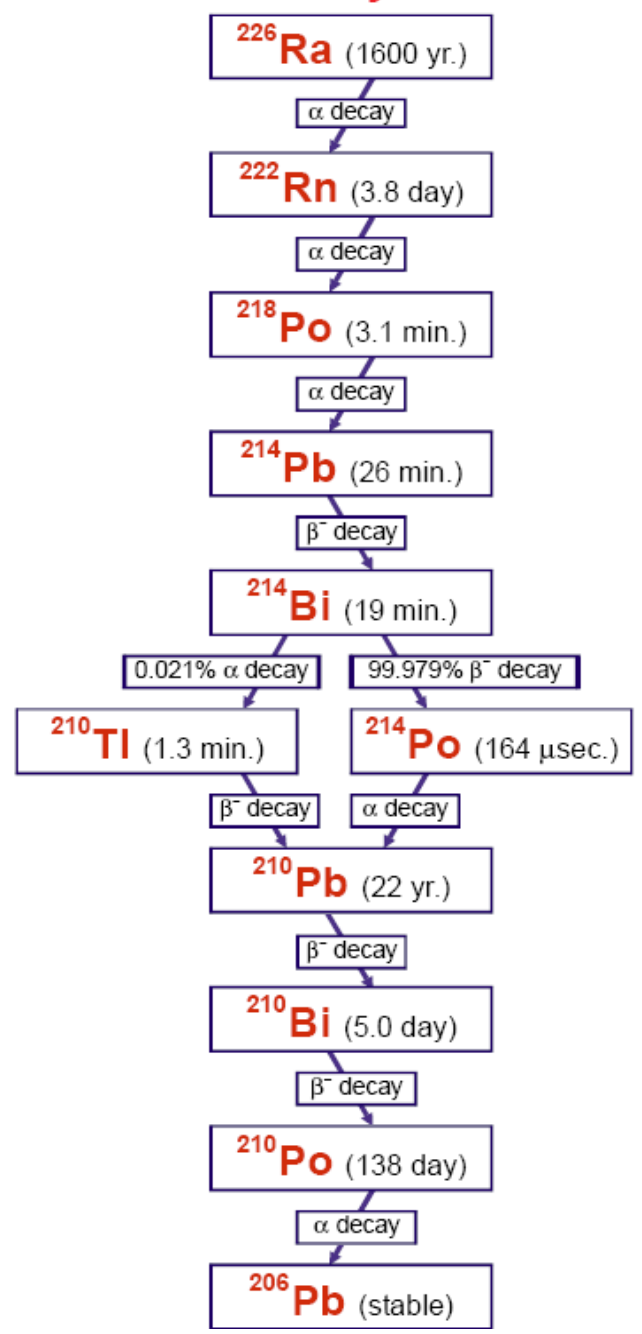
$E_\gamma$ (keV)	$\sigma E_\gamma$	$I_\gamma$ (rel)	$I_\gamma$ (%)	$\sigma I_\gamma$	S
468.072		58.0	47.83	0.16	1
484.578		3.81	3.184	0.011	1
485.30	0.11		0.0022	0.0005	
489.039	0.013	0.480	0.443	0.004	3
588.584	0.001	5.52	4.514	0.014	1
593.37	0.05	0.045	0.0426	0.0015	4
599.4	0.3		0.0039	0.0016	4
604.415		10.04	8.23	0.06	1
612.466		6.55	5.309	0.017	1
703.98	0.12	0.007	0.0053	0.0009	4
739.0			0.0005		4
766.0	0.3		0.0015	0.0003	4
884.542	0.001	0.364	0.2923	0.0025	1
1061.48	0.04	0.067	0.0529	0.0008	1
1089.7	0.3	0.002	0.0010	0.0002	4
1378.3	0.3	0.0015	0.0012	0.0003	3



# Schéma de désintégration du radium 226 et ses descendants



# $^{226}\text{Ra}$ Decay Chain



## Rayonnements gamma : énergie et intensité (1/2)

Nuclide: <sup>226</sup>Ra

$E_\gamma$ ,  $\sigma E_\gamma$ ,  $I_\gamma$ ,  $\sigma I_\gamma$  - 1998 ENSDF Data

Half Life: 1600(7) yr.

Detector: 55 cm<sup>3</sup> coaxial Ge (Li)

Method of Production: <sup>238</sup>U decay

	$E_\gamma$ (keV)	$\sigma E_\gamma$	$I_\gamma$ (rel)	$I_\gamma$ (%)	$\sigma I_\gamma$	S		$E_\gamma$ (keV)	$\sigma E_\gamma$	$I_\gamma$ (rel)	$I_\gamma$ (%)	$\sigma I_\gamma$	S
<sup>226</sup> Ra	34.8	1.6				4							
<sup>226</sup> Ra D	186.211	0.013	4.3	3.59	0.06	3							
	187.10	0.20											
<sup>214</sup> Pb	196.20	0.05		0.069	0.010	4							
<sup>214</sup> Pb	241.997	0.003	9	7.43	0.11	2							
<sup>214</sup> Pb	258.87	0.04	0.47	0.524	0.011	4							
<sup>228</sup> Ra	262.27	0.05		0.0050	0.0005	4							
<sup>214</sup> Bi	273.80	0.05		0.15	0.03	4							
<sup>214</sup> Pb	274.80	0.05	0.55	0.474	0.011	4							
<sup>214</sup> Bi	280.95	0.05	0.099	0.060	0.010	4							
<sup>214</sup> Pb	295.224	0.002	21.3	19.30	0.20	1							
<sup>214</sup> Bi D	304.2	0.20	0.14	0.0420		4							
	304.2	0.20											
<sup>214</sup> Pb	305.26	0.03		0.031	0.003	4							
<sup>214</sup> Pb	314.32	0.07		0.078	0.001	4							
<sup>214</sup> Bi	314.9	0.8											
<sup>214</sup> Pb	323.83	0.04	0.055	0.028	0.004	4							
<sup>214</sup> Bi	333.31	0.06	0.106	0.080	0.020	4							
<sup>214</sup> Bi	334.78	0.08		0.034		4							
<sup>214</sup> Bi	348.92	0.06	0.061	0.12	0.04	4							
<sup>214</sup> Pb	351.932	0.002	40	37.6	0.4	1							
<sup>214</sup> Bi	386.77	0.05	0.56	0.31	0.03	4							
<sup>214</sup> Bi	388.88	0.05	0.61	0.37	0.04	4							
<sup>214</sup> Bi	405.74	0.03	0.18	0.170	0.010	4							
<sup>228</sup> Ra	414.60	0.05		0.0003		4							
<sup>228</sup> Ra	449.37	0.10		0.0002		4							
<sup>214</sup> Bi	454.770	0.120	0.35	0.300	0.020	4							
<sup>214</sup> Bi	461.000	0.200	0.281	0.053	0.009	4							
<sup>214</sup> Pb	462.00	0.07		0.221	0.009	4							
<sup>214</sup> Bi	469.760	0.070	0.14	0.129	0.010	4							
<sup>214</sup> Bi	474.410	0.050	0.131	0.110	0.009	4							
<sup>214</sup> Pb	480.430	0.020	0.4	0.320	0.011	4							
<sup>214</sup> Pb	487.09	0.07	0.46	0.422	0.016	4							
<sup>214</sup> Pb	511.0	0.4		0.032	0.010	4							
<sup>222</sup> Rn	511.5	0.2	0.37	0.08	0.08	4							
<sup>214</sup> Pb	533.660	0.020	0.173	0.186	0.009	4							
<sup>214</sup> Bi	543.00	0.20	0.083	0.084	0.009	4							
<sup>214</sup> Pb	543.81	0.07		0.069	0.010	4							
<sup>214</sup> Bi	572.76	0.07	0.091	0.074	0.010	4							
<sup>214</sup> Pb	580.13	0.03	0.39	0.352	0.014	3							
<sup>226</sup> Ra	600.66	0.05		0.0005		4							
<sup>214</sup> Bi	609.312	0.007	46.1	46.1	0.5	1							
<sup>214</sup> Bi	615.73	0.10	0.1	0.060	0.020	4							
<sup>214</sup> Bi	633.14	0.1		0.055	0.005								
<sup>214</sup> Bi	639.67	0.10	0.032	0.030	0.005	4							
<sup>214</sup> Bi	649.18	0.07	0.061	0.060	0.007	4							
<sup>214</sup> Bi	665.453	0.022	1.54	1.46	0.03	3							
<sup>214</sup> Bi	683.22	0.06	0.073	0.081	0.009	4							
<sup>214</sup> Bi	697.90	0.25	0.035	0.051	0.014	4							
<sup>214</sup> Bi	703.11	0.04	0.45	0.472	0.012	3							
<sup>214</sup> Bi	710.3	0.3	0.077			4							
<sup>214</sup> Bi	710.67	0.10	0.077	0.0750	0.0020	4							
<sup>214</sup> Bi	719.86	0.03		0.379	0.011	4							
<sup>214</sup> Bi	733.80	0.15	0.05	0.043	0.006	4							
<sup>214</sup> Bi	752.84	0.03	0.135	0.130	0.010	4							
<sup>214</sup> Bi	768.356	0.010	4.9	4.94	0.06	1							
<sup>214</sup> Bi	785.37	0.08		1.72	0.02	4							
<sup>214</sup> Pb	785.96	0.9		1.07	0.08	4							
<sup>214</sup> Bi	806.174	0.018	1.26	1.220	0.020	3							
<sup>214</sup> Bi	821.18	0.03	0.141	0.158	0.015	4							
<sup>214</sup> Bi	826.30	0.20	0.01	0.110	0.020	4							
<sup>214</sup> Pb	839.04	0.09	0.59	0.587	0.010	3							
<sup>214</sup> Bi	904.29	0.10	0.124	0.085	0.020	4							
<sup>214</sup> Bi	934.061	0.012	3.13	3.03	0.04	2							
<sup>214</sup> Bi	964.08	0.03	0.38	0.362	0.017	3							
<sup>214</sup> Bi	1032.37	0.08	0.1	0.078	0.020	4							
<sup>214</sup> Bi	1051.96	0.03	0.33	0.315	0.011	4							
<sup>214</sup> Bi	1069.96	0.08	0.29	0.275	0.015	4							
<sup>214</sup> Bi	1103.64	0.19	0.183	0.10	0.04	4							
<sup>214</sup> Bi	1120.287	0.010	15.3	15.10	0.20	1							

## Rayonnements gamma : énergie et intensité (2/2)

Nuclide: <sup>226</sup>Ra

$E_\gamma$ ,  $\sigma E_\gamma$ ,  $I_\gamma$ ,  $\sigma I_\gamma$  - 1998 ENSDF Data

Half Life: 1600(7) yr.

Detector: 55 cm<sup>3</sup> coaxial Ge (Li)

Method of Production: <sup>238</sup>U decay

	$E_\gamma$ (keV)	$\sigma E_\gamma$	$I_\gamma$ (rel)	$I_\gamma$ (%)	$\sigma I_\gamma$	S
<sup>214</sup> Bi	1133.66	0.03		0.248	0.013	4
<sup>214</sup> Bi	1155.19	0.020	1.69	1.630	0.020	3
<sup>214</sup> Bi	1172.98	0.10	0.07	0.051	0.006	4
<sup>214</sup> Bi	1207.68	0.03	0.47	0.451	0.016	3
<sup>214</sup> Bi	1238.110	0.012	6	5.79	0.08	1
<sup>214</sup> Bi	1253.14	0.12				
<sup>214</sup> Bi	1280.960	0.020	1.45	1.430	0.020	3
<sup>214</sup> Bi	1303.76	0.08	0.118	0.112	0.007	4
<sup>214</sup> Bi	1316.96	0.15	0.087	0.080	0.010	4
<sup>214</sup> Bi	1377.669	0.012	4	4.00	0.06	1
<sup>214</sup> Bi	1385.31	0.03	0.82	0.757	0.018	3
<sup>214</sup> Bi	1401.50	0.04	1.32	1.270	0.020	3
<sup>214</sup> Bi	1407.98	0.04	2.3	2.15	0.05	2
<sup>214</sup> Bi	1479.15	0.14	0.06	0.051	0.005	4
<sup>214</sup> Bi	1509.228	0.015	2.15	2.11	0.04	3
<sup>214</sup> Bi	1538.50	0.06	0.39	0.376	0.014	4
<sup>214</sup> Bi	1543.32	0.06	0.3	0.20	0.05	4
<sup>214</sup> Bi	1583.22	0.04	0.75	0.690	0.015	3
<sup>214</sup> Bi	1594.73	0.08	0.28	0.25	0.04	3
<sup>214</sup> Bi	1599.31	0.06	0.36	0.23	0.06	3
<sup>214</sup> Bi	1661.28	0.06	1.14	1.15	0.03	2
<sup>214</sup> Bi	1683.99	0.04	0.225	0.216	0.006	3
<sup>214</sup> Bi	1729.595	0.015	2.95	2.92	0.04	1
<sup>214</sup> Bi	1764.494	0.014	15.9	15.40	0.20	1
<sup>214</sup> Bi	1838.36	0.05	0.37	0.360	0.020	3
<sup>214</sup> Bi	1847.42	0.025	2.16	2.11	0.03	1
<sup>214</sup> Bi	1873.16	0.06	0.23	0.219	0.007	3
<sup>214</sup> Bi	1890.30	0.15	0.084	0.08	0.03	4

	$E_\gamma$ (keV)	$\sigma E_\gamma$	$I_\gamma$ (rel)	$I_\gamma$ (%)	$\sigma I_\gamma$	S
<sup>214</sup> Bi	1895.92	0.14	0.18	0.160	0.020	3
<sup>214</sup> Bi	2010.78	0.12	0.059	0.047	0.003	4
<sup>214</sup> Bi	2021.60	0.20	0.02	0.020	0.003	4
<sup>214</sup> Bi	2052.94	0.12	0.066	0.069	0.005	4
<sup>214</sup> Bi	2089.70	0.20	0.056	0.050	0.006	4
<sup>214</sup> Bi	2109.92	0.12	0.084	0.088	0.004	3
<sup>214</sup> Bi	2118.55	0.03	1.23	1.14	0.03	1
<sup>214</sup> Bi	2147.90	0.20	0.021	0.014	0.002	4
<sup>214</sup> Bi	2192.58	0.16	0.052	0.034	0.003	4
<sup>214</sup> Bi	2204.21	0.04	5.2	5.08	0.04	1
<sup>214</sup> Bi	2260.30	0.20	0.013	0.0087	0.0005	4
<sup>214</sup> Bi	2266.51	0.13	0.019	0.0180	0.0010	4
<sup>214</sup> Bi	2293.40	0.12	0.34	0.305	0.009	1
<sup>214</sup> Bi	2331.30	0.20	0.026	0.0221	0.0014	4
<sup>214</sup> Bi	2376.90	0.20	0.01	0.0088	0.0012	3
<sup>214</sup> Bi	2447.86	0.10	1.6	1.570	0.020	1
<sup>214</sup> Bi	2505.40	0.20	0.005	0.0057	0.0005	4
<sup>214</sup> Bi	2694.70	0.20	0.033	0.0310	0.0020	2
<sup>214</sup> Bi	2769.90	0.20	0.026	0.0250	0.0020	2
<sup>214</sup> Bi	2785.90	0.20	0.006	0.0055	0.0009	4
<sup>214</sup> Bi	2827.00	0.20	0.004	0.0023	0.0002	4
<sup>214</sup> Bi	2880.30	0.20	0.01	0.0092	0.0003	3
<sup>214</sup> Bi	2893.50	0.20	0.0056	0.0060	0.0005	3
<sup>214</sup> Bi	2921.90	0.20	0.016	0.0140	0.0020	1
<sup>214</sup> Bi	2978.90	0.20	0.015	0.0138	0.0005	1
<sup>214</sup> Bi	3000.00	0.20	0.009	0.0088	0.0012	3
<sup>214</sup> Bi	3053.90	0.20	0.022	0.0210	0.0020	1
<sup>214</sup> Bi	3081.7	0.3	0.004	0.0048	0.0005	3

